

Mikołaj Korobczak

Pracownia z analizy numerycznej

Pracownia P2 Zadanie 8

Wrocław, 4 kwietnia 2020

Prowadzący: dr hab. Paweł Woźny

Spis treści

1. Wstęp	1
2. Wielomian interpolacyjny I_n	2
3. Wielomian interpolacyjny J_n	5
4. Wielomian K_n	6
5. Algorytm Clenshowa	8
6. Wyniki testów	9
7. Podsumowanie i wnioski	11
Literatura	12

1. Wstęp

Aproksymacja to przybliżenie jakiejś niewygodnej lub skomplikowanej funkcji f przy pomocy łatwiejszej funkcji g , gdzie łatwa funkcja to zazwyczaj wielomian i taką aproksymację będziemy tutaj omawiać. Wielomian W dobrze aproksymuje funkcję f na przedziale $\langle a, b \rangle$ gdy funkcja błędu

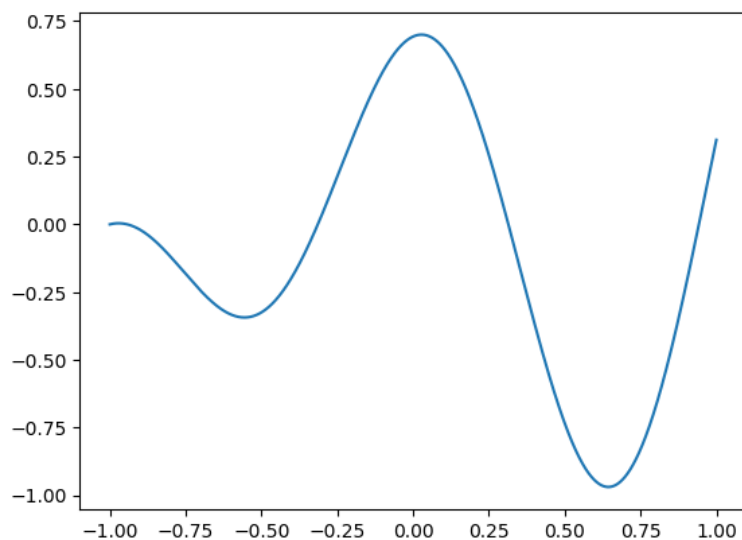
$$\|f - w\|_{\infty} = \max_{a \leq x \leq b} |f(x) - w(x)| \quad (1)$$

jest mała. Natomiast n -tym wielomianem optymalnym W_n nazywamy wielomian, który spełnia równanie

$$\inf_{w \in \Pi_n} \|f - w\|_{\infty} = \|f - W_n\|_{\infty}. \quad (2)$$

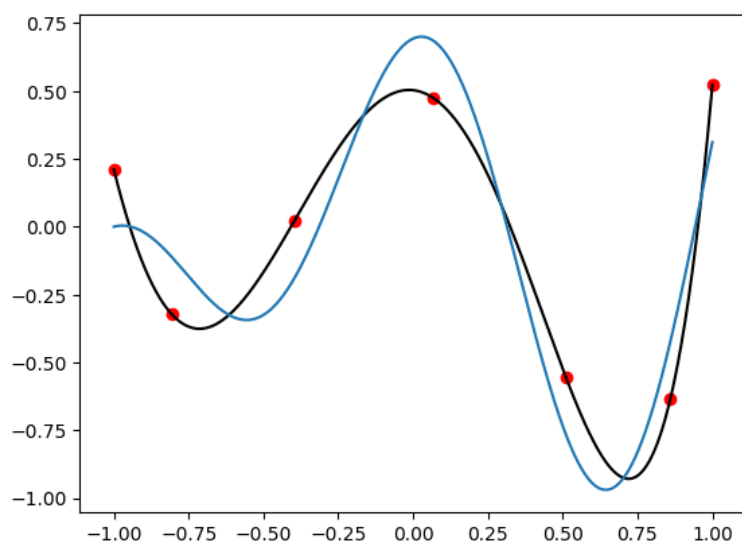
Wiemy, że istnieje tylko jeden taki wielomian dla każdej funkcji f i każdego n . [1] Znalezienie takiego wielomianu okazuje się jednak trudnym zadaniem, ponieważ nie da się podać jawnego wzoru na wyznaczenie W_n , a algorytm, który go wyznacza (algorytm Remeza) działa długo i jest skomplikowany. Dlatego szukamy prostszych wielomianów, które łatwo policzyć, a które dają wyniki zbliżone do tych, które daje W_n . Postanowiłem przetestować skuteczność aproksymacji trzech takich wielomianów I_n , J_n i K_n . W kolejnych sekcjach będę omawiał te wielomiany i pokazywał ich aproksymacje na przykładowej funkcji

$$f(x) = \log(x + 2) * \cos(5x). \quad (3)$$



Rysunek 1. Wykres funkcji f

Aby unaocznić zadanie aproksymacji pokazuję wykres wielomianu W_5 dla wskazanej funkcji. Czerwone punkty to punkty alternansu.



Rysunek 2. Aproksymacja wielomianem optymalnym W

2. Wielomian interpolacyjny I_n

Wielomian I_n jest wielomianem interpolacyjnym stopnia n , który interpoluje zadaną funkcję f w punktach $t_{n,k}$ zadanych wzorem

$$t_{n,k} = \cos \frac{(2k-1)\pi}{2n}, \quad (4)$$

które są zerami n -tego wielomiany Czebyszewa. Wielomian ten bierzemy nie bez powodu, ponieważ spośród wszystkich wielomianów interpolacyjnych chcielibyśmy znaleźć taki, żeby jego norma była najmniejsza, a wiemy z [2], że

$$\|f - I_n\|_\infty \leq \frac{1}{(n+1)!} \|Z\|_\infty \|f^{(n+1)}\|_\infty \quad (5)$$

gdzie Z jest wielomianem $(n+1)$ -tego stopnia. Tak więc norma ta zależy od normy wielomianu Z , a najmniejszą normę równą 2^{-n} na przedziale $\langle -1, 1 \rangle$ ma wielomian o zerach w zerach wielomianu Czebyszewa T_{n+1} [3]. Wielomian interpolujący więc funkcję w zerach Czebyszewa powinien być blisko wielomianu optymalnego. Wielomian ten zadany jest dwoma równoważnymi wzorami¹

$$I_n(x) = \frac{1}{n+1} T_{n+1}(x) \sum_{k=1}^{n+1} (-1)^{k-1} f(t_{n+1,k}) \left(\sin \frac{(2k-1)\pi}{2(n+1)} \right) / (x - t_{n+1,k}) \quad (6)$$

$$I_n(x) = \frac{2}{n+1} \sum_{j=0}^n \left(\sum_{k=1}^{n+1} f(t_{n+1,k}) T_j(t_{n+1,k}) \right) T_j(x). \quad (7)$$

Dowód. [4] Aby pokazać, że I_n jest wielomianem interpolującym w punktach (4) rozważmy współczynnik przy $f(t_{n+1,k})$ w (6)

$$Q_k(x) = \frac{1}{n+1} T_{n+1}(x) (-1)^{k-1} \sin \frac{(2k-1)\pi}{2(n+1)} / (x - t_{n+1,k}) \quad (8)$$

Widać, że jest to wielomian, który ma wszystkie zera wielomianu T_{n+1} oprócz $t_{n+1,k}$. Jest to więc wielomian co najwyżej n -tego stopnia. Jednocześnie wielomian ten w punktach $t_{n+1,j}$ $j \neq k$ ma wartość 0. Możemy też zapisać, że

$$Q_n(t_{n+1,k}) = \frac{1}{n+1} (-1)^{k+1} \left(\sin \frac{(2k-1)\pi}{2(n+1)} \right) T'_{n+1}(t_{n+1,k}), \quad (9)$$

a ponieważ

$$T'(t_{n,k}) = (-1)^{k-1} n \left(\sin \frac{(2k-1)\pi}{2n} \right)^{-1} \quad (10)$$

to $Q_k(t_{n+1,k}) = 1$, więc (6) spełnia warunki interpolacji. Trzeba jeszcze pokazać równoważność dwóch wzorów na wielomian I_n . Skorzystamy do tego z równoważności

$$2(x - t_{n+1,k}) \sum_{j=0}^n T_j(t_{n+1,k}) T_j(x) = T_{n+1}(x) T_n(t_{n+1,k}) \quad (11)$$

gdzie po rozpisaniu $T_n(t_{n+1,k})$ na

$$T_n(t_{n+1,k}) = (-1)^{k-1} \sin \frac{(2k-1)\pi}{2(n+1)} \quad (12)$$

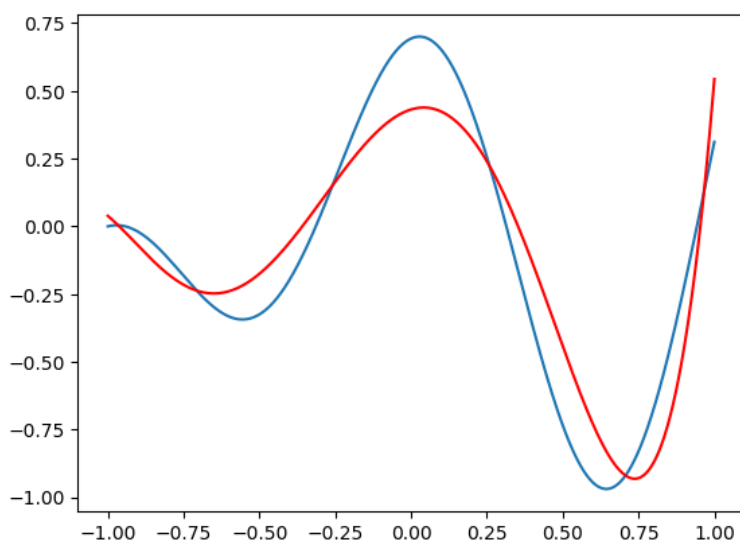
dostajemy, że

$$(-1)^{k-1} \left(\sin \frac{(2k-1)\pi}{2(n+1)} \right) T_{n+1}(x) / (x - t_{n+1,k}) = 2 \sum_{j=0}^n T_j(t_{n+1,k}) T_j(x), \quad (13)$$

więc oba wzory są równoważne. □

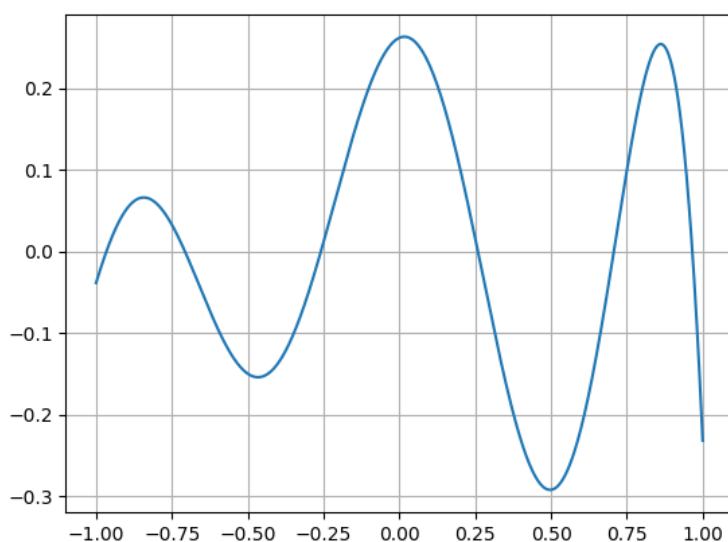
¹ Wzór na wielomian I_n wzięłam z książki Paszkowskiego i tego się trzymałam pomimo drobnej różnicy względem wzoru podanego na wykładzie.

Postanowiłem przetestować możliwości tego wielomianu dla różnych przykładów. Jednym z nich może być poniższy, w którym aproksymuję funkcję (3) naszym wielomianem:



Rysunek 3. Aproksymacja wielomianem I

Wydaje się, że wykres naszego wielomianu zachowuje się tak, jak byśmy chcieli, czyli jest podobny do wykresu wielomianu optymalnego. Wykres błędu naszego wielomianu wygląda tak:



Rysunek 4. Wykres błędu aproksymacji wielomianem I

Po wykresie widać jednak, że nie można tu pokazać alternansu, więc z twierdzenia Czebyszewa o alternansie nie może to być wielomian optymalny, co dodatkowo widać, gdy porówna się maksymalny błąd. Błąd naszego wielomianu I_5 wynosi 0.29226, podczas gdy błąd wielomianu optymalnego wynosił 0.21101. Przeprowadziłem jeszcze inne testy dla różnych funkcji, których wyniki przedstawiłem w rozdziale 6.

3. Wielomian interpolacyjny J_n

Innym podejściem do aproksymacji może być próba interpolacji funkcji w ekstremach Czebyszewa, czyli w zerach wielomianów Czebyszewa drugiego rodzaju, zadanych wzorem

$$u_{n-1,k} = \cos \frac{k\pi}{n} \quad (14)$$

Okazuje się, że dla niektórych funkcji aproksymowanych wielomian J_n interpolujący w tych punktach zachowuje się lepiej niż wielomian I_n . Wielomian J_n wyraża się wzorem

$$J_n(x) = \frac{2}{n} \sum_{j=0}^n \left(\sum_{k=0}^n f(u_{n-1,k}) T_j(u_{n-1,k}) \right) T_j(x). \quad (15)$$

Dowód. [5] Przekształćmy wzór na J_n do postaci

$$J_n(x) = \frac{2}{n} \sum_{j=0}^n \left(\sum_{k=0}^n T_j(x) T_j(u_{n-1,k}) \right) f(u_{n-1,k}). \quad (16)$$

wiemy, że jeśli zdefiniujemy iloczyn skalarny dla wielomianów wzorem

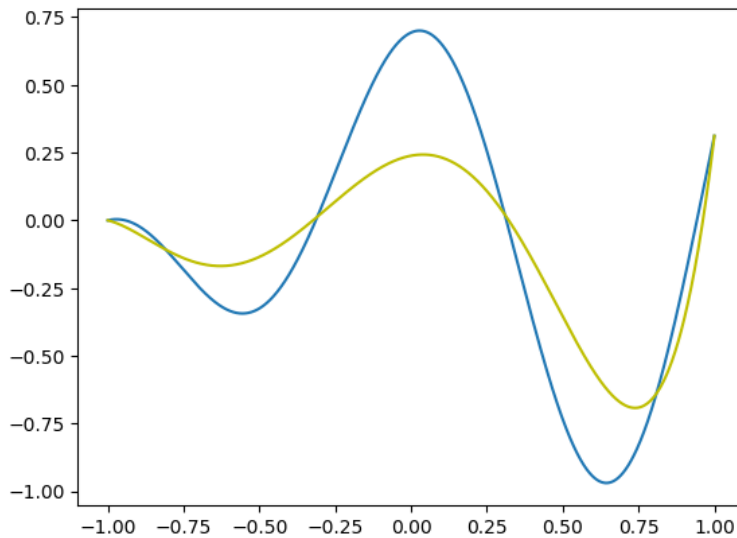
$$\langle f, g \rangle = \sum_{k=0}^n f(x_k) g(x_k), \quad (17)$$

to

$$\langle T_k, T_l \rangle = \begin{cases} 0 & (k \neq l) \\ n & (k = l = 0 \text{ lub } k = l = n) \\ \frac{n}{2} & (0 < k = l < n), \end{cases} \quad (18)$$

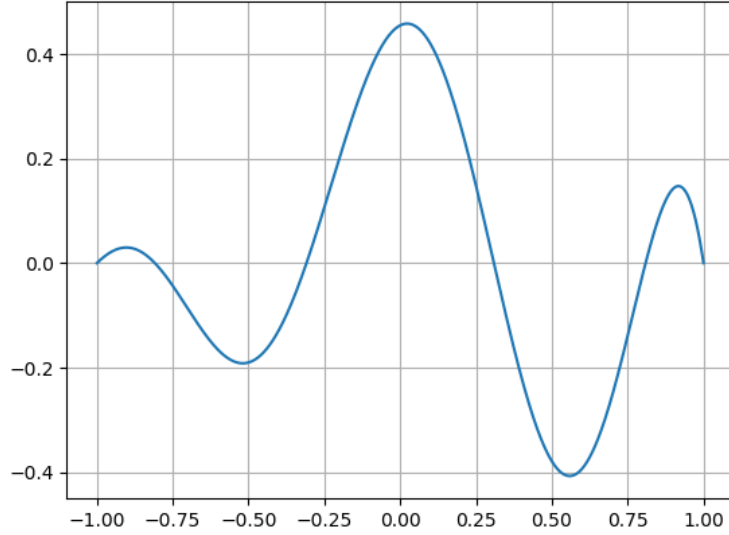
więc biorąc pod uwagę dzielenie pierwszego i ostatniego wyrazu sumy przez 2 w zewnętrznej sumie widzimy, że $f(u_{n-1,k}) = J_n(u_{n-1,k})$. \square

Wróćmy znowu do naszej funkcji (3). Wykres aproksymacji prezentuje się następująco:



Rysunek 5. Aproksymacja wielomianem J

natomiast wykres błędu wygląda tak:



Rysunek 6. Błąd aproksymacji wielomianem J

Wygląda na to, że nasz wielomian J_5 aproksymuje znacznie gorzej niż wielomian I_5 i widać to już po samym wykresie, a wykres błędów tylko potwierdza nasze podejrzenia. Natomiast po jednym przykładzie nie można jeszcze tak od razu stwierdzić, że J_n jest gorszy. Dlatego zrobiłem więcej testów, a ich wyniki przedstawiłem w rozdziale 6.

4. Wielomian K_n

Ostatnim badanym przeze mnie wielomianem był wielomian K_n . Wiemy, że aby wielomian W_n był n -tym wielomianem optymalnym w sensie aproksymacji jednostajnej, musi posiadać $(n+2)$ punktów alternans, w którym wartość błędów na zmianę przyjmuje maksymalną wartość błędów. Wielomian K_n jest tak zadany, że gdyby dla wielomianu W_n alternans wypadał by na zbiorze

$$\{u_{n,0}, u_{n,1}, \dots, u_{n,n+1}\} \quad (19)$$

to $W_n = K_n$. Wzór na wielomian K_n , to

$$K_n(x) = \frac{1}{n+1} \sum_{k=0}^{n+1} (-1)^k f(u_{n,k}) ((x^2 - 1)U_n(x)/(x - u_{n,k}) - T_{n+1}(x)) \quad (20)$$

oraz

$$K_n(x) = \frac{2}{n+1} \sum_{j=0}^{n+1} \left(\sum_{k=0}^{n+1} f(u_{n,k}) T_j(u_{n,k}) \right) T_j(x), \quad (21)$$

a n -ty błąd aproksymacji na zbiorze (19) wynosi

$$\epsilon = \frac{1}{n+1} \left| \sum_{k=0}^{n+1} (-1)^k f(u_{n,k}) \right|. \quad (22)$$

Dowód. [6] Innym wzorem na J_n z poprzedniego rozdziału jest wzór

$$J_{n+1}(x) = \frac{1}{n+1} (x^2 - 1)U_n(x) \sum_{k=0}^{n+1} (-1)^k f(u_{n,k})/(x - u_{n,k}). \quad (23)$$

Współczynnik stojący przy x^{n+1} w J_{n+1} wynosi

$$\frac{2^n}{n+1} \sum_{k=0}^{n+1} (-1)^k f(u_{n,k}). \quad (24)$$

Natomiast ponieważ $T_{n+1}(x) = 2^n x^{n+1} + \dots$, więc różnica

$$J_{n+1} - \left(\frac{1}{n+1} \sum_{k=0}^{n+1} (-1)^k f(u_{n,k}) \right) T_{n+1} \quad (25)$$

jest wielomianem stopnia co najwyżej n -tego i jest to przy okazji nasz wielomian K_n . Jednocześnie widać, że w punktach $u_{n,k}$ przyjmuje on wartość

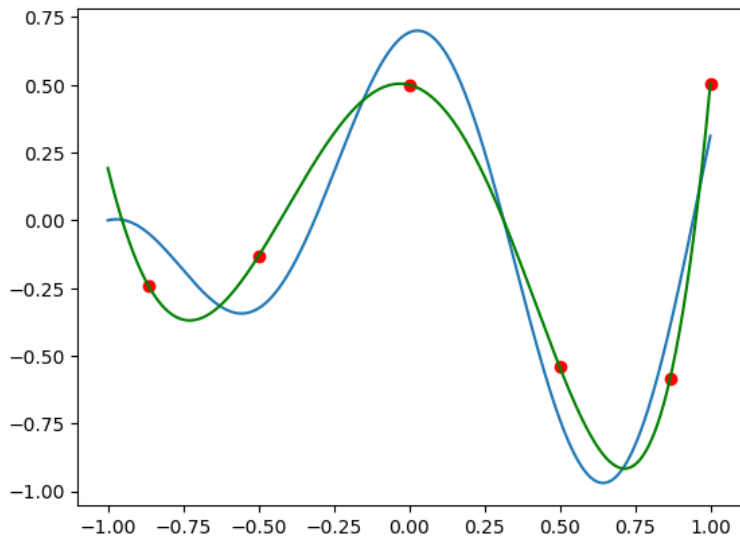
$$f(u_{n,k}) - \frac{(-1)^j}{n+1} \sum_{k=0}^{n+1} (-1)^k f(u_{n,k}) \quad (26)$$

czyli posiada $n+2$ punktowy zbiór na którym przyjmuje na zmianę wartość błędu ϵ . Wzór (21) wynika bezpośrednio z określenia K_n jako

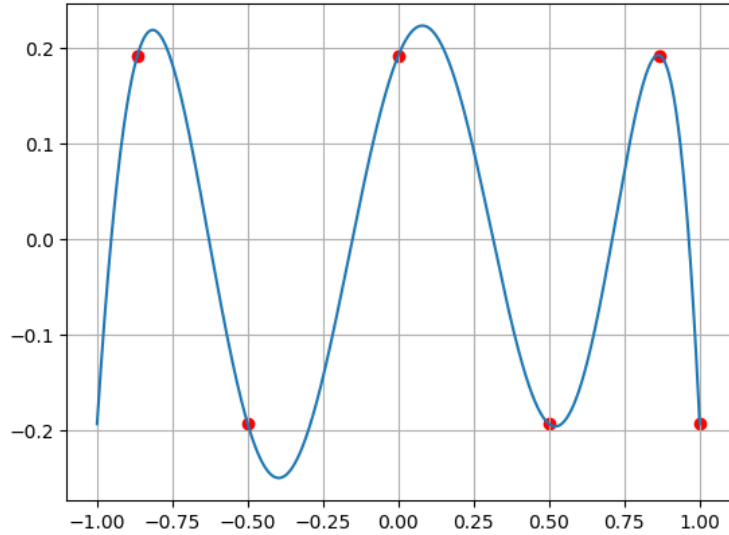
$$\begin{aligned} K_n &= J_{n+1} - \epsilon T_{n+1} = \\ &= \frac{2}{n+1} \sum_{j=0}^{n+1} \left(\sum_{k=0}^{n+1} f(u_{n,k}) T_j(u_{n,k}) \right) T_j - \\ &\quad - \frac{1}{n+1} \sum_{k=0}^{n+1} f(u_{n,k}) T_{n+1}(u_{n,k}) T_{n+1} = \\ &= \frac{2}{n+1} \sum_{j=0}^n \left(\sum_{k=0}^{n+1} f(u_{n,k}) T_j(u_{n,k}) \right) T_j. \end{aligned}$$

□

Ponownie przetestujmy aproksymację funkcji (3). Tym razem na wykresach na czerwono zaznaczam punkty (19), które tworzą alternans naszego wielomianu.



Rysunek 7. Aproksymacja wielomianem K



Rysunek 8. Błąd aproksymacji wielomianem K_5 .

Nasz wielomian K_5 wygląda już niemal tak samo, jak wielomian optymalny W_5 , a wykres błęd pokazuje, że jesteśmy już bardzo blisko tego, aby wielomian ten był wielomianem optymalnym. Widać to również porównując błąd maksymalny, który wynosi 0.24930 do błędu wielomianu optymalnego W_5 , a przypomnijmy, że wynosi on 0.21100. Wydaje się zatem, że jest to bardzo wydajny sposób aproksymacji. Tak jak poprzednie wielomiany przetestowałem ten wielomian dla różnych funkcji, a wyniki przedstawiłem w rozdziale 6.

5. Algorytm Clenshowa

Do liczenia wartości wielomianów postaci

$$w(x) = \sum_{k=0}^n a_k T_k(x).$$

można użyć algorytmu Clenshowa [7]

```

b[n+2] := b[n+1] := 0,
FOR k = n, n-1, ..., 1
    b[k] := a[k] - b[k+2] + 2 * b[k+1] * x
END
RETURN 1/2 * a[0] - b[2] + b[1] * x

```

Używałem go do liczenia wartości wielomianów I_n, J_n, K_n . Aby móc użyć tego kilka razy korzystałem z faktu

$$T_j(u_{n,k}) = T_k(u_{n,j}) \quad (27)$$

na zbiorze $\langle -1, 1 \rangle$.

Dowód.

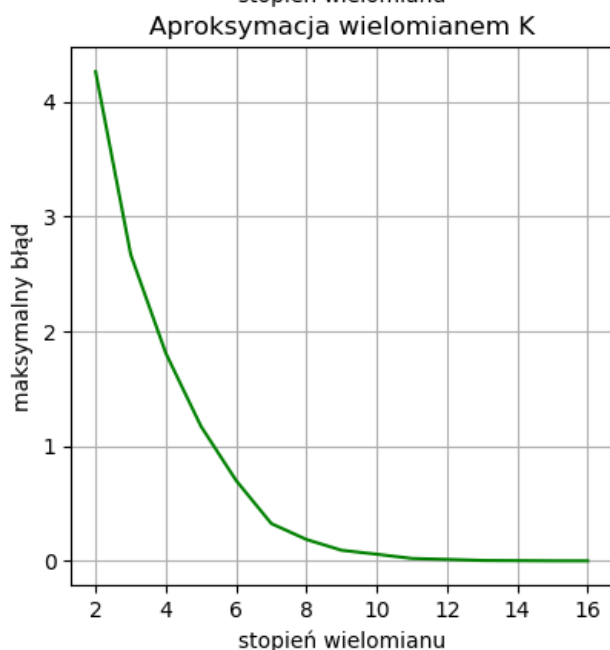
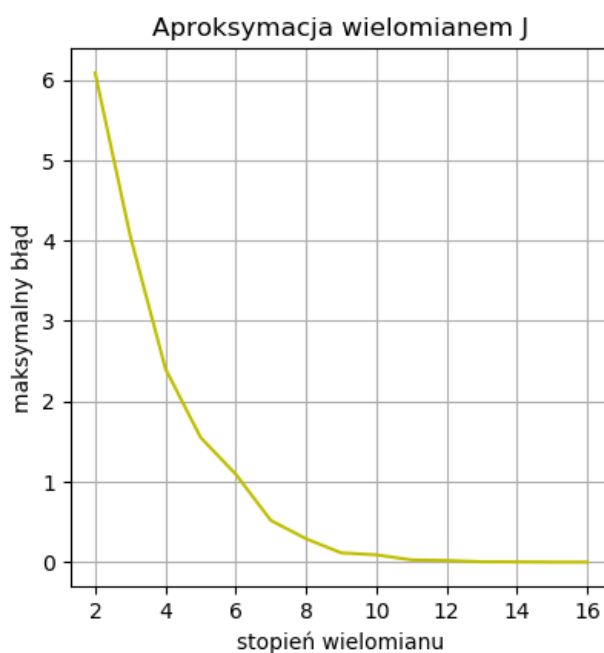
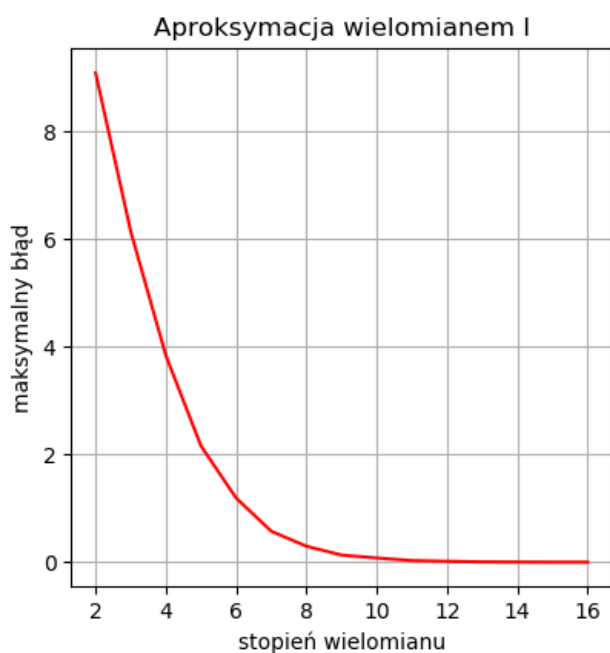
$$\begin{aligned}
 T_j(u_{n,k}) &= \cos(n \arccos(u_{n,k})) = \cos(n \arccos(\cos(\frac{k\pi}{n+1}))) = \\
 &= \cos(\frac{nk\pi}{n+1}) = \cos(k \arccos(u_{n,j})) = T_k(u_{n,j})
 \end{aligned}$$

□

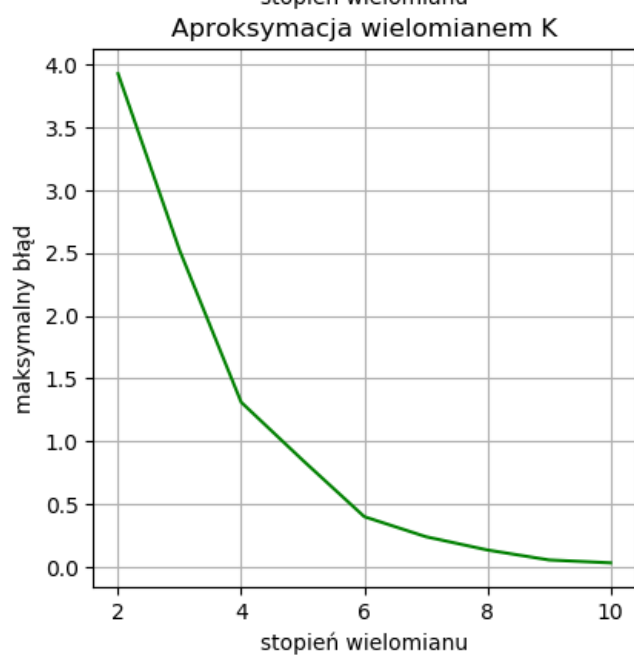
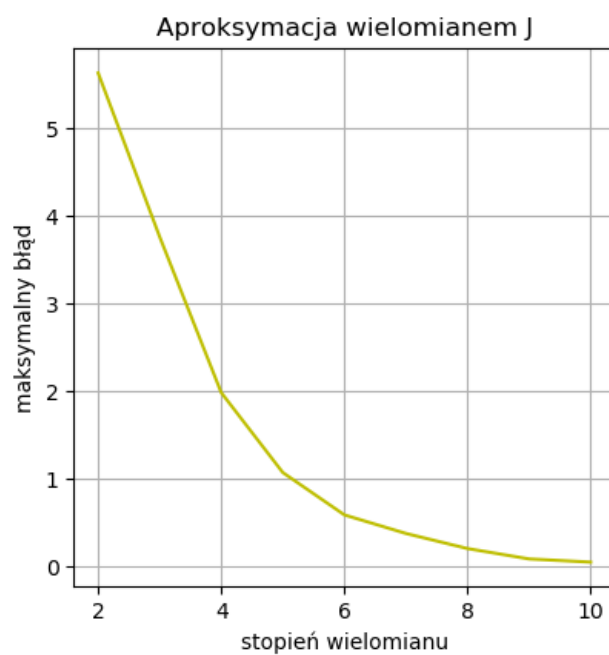
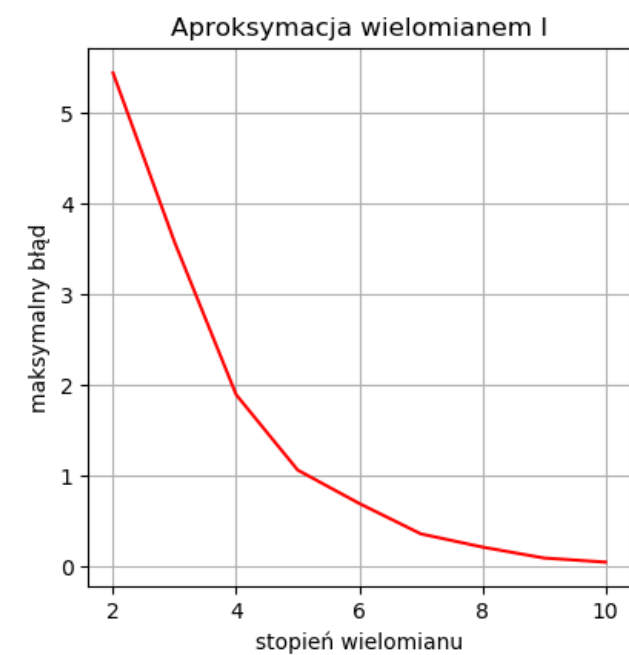
6. Wyniki testów

Testy, które przeprowadziłem były zautomatyzowane. Wszystkie funkcje były generowane losowo (wielomiany i inne funkcje miały losowe wartości z zadanych przedziałów). Przeprowadziłem testy dla wielomianów, funkcji trygonometrycznych postaci $a \sin x + / * b \cos x$, oraz funkcje mieszane, w których używane były takie funkcje jak $a \log(x+3)$, funkcje trygonometryczne i wielomiany. Zależało mi, aby wszystkie funkcje wygenerowane automatycznie były ciągłe na $\langle -1, 1 \rangle$, dlatego nie ma tu funkcji homograficznych, ani wykładniczych. Aproxymowałem te funkcje wielomianami od stopnia $n = 2, 3, \dots, 100$ w przypadku wielomianów (zatrzymałem testy, w momencie kiedy wartości błędów były bliskie 0) oraz $n = 2, 3, \dots, 10$ dla pozostałych funkcji. Na wykresach przedstawiłem moje wyniki:

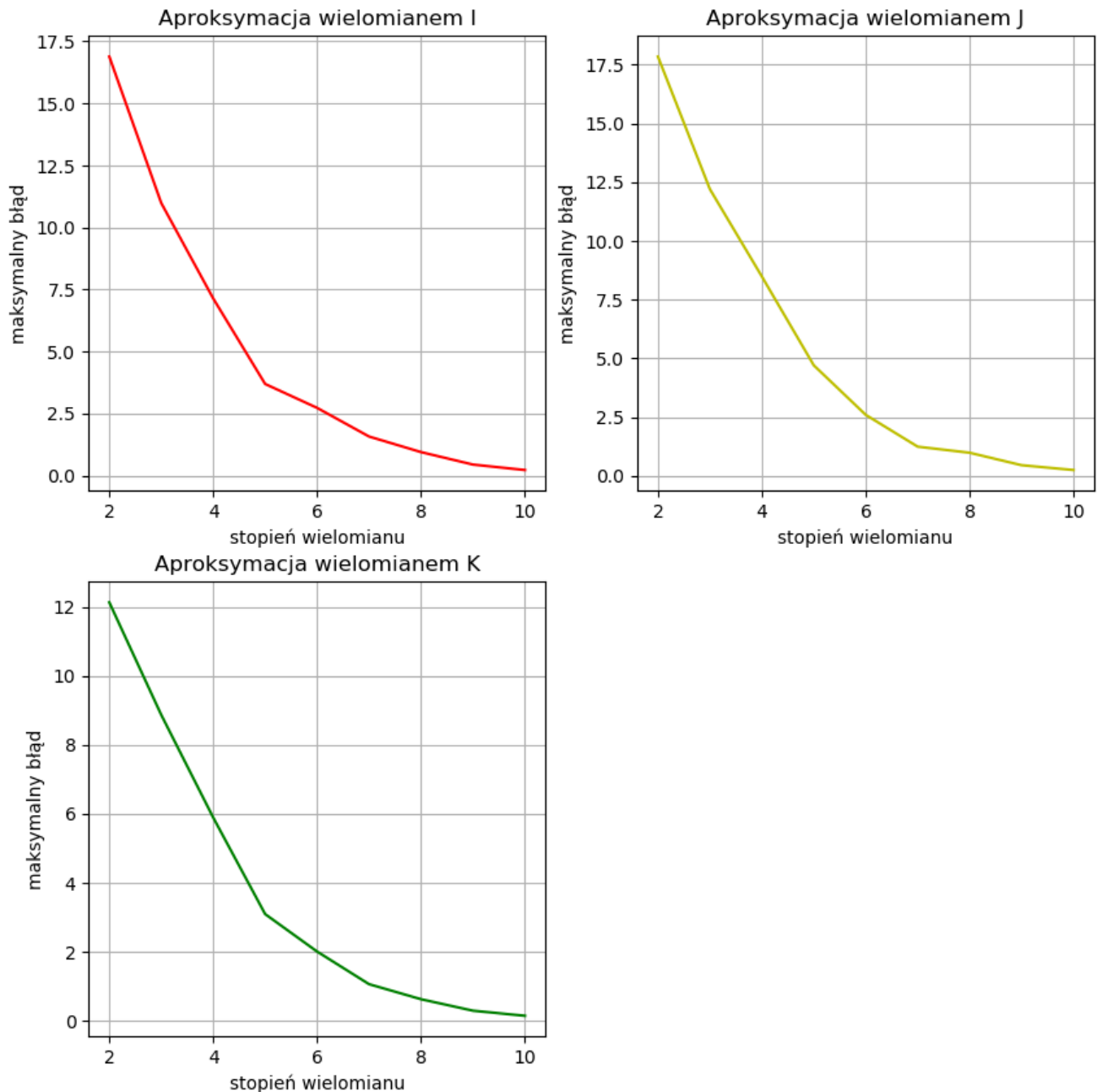
- Dla wielomianów



- Dla funkcji trygonometrycznych



- Dla funkcji mieszanych



7. Podsumowanie i wnioski

Nietrudno było zauważyć, że wielomian K_n zdecydowanie lepiej się zachowywał niż wielomiany I_n i J_n . Wykres błędu tego wielomianu często przypomina taki, który powinien posiadać wielomian optymalny, jego błąd bardzo szybko maleje wraz ze wzrostem wartości n . Dzięki algorytmowi Clenshowa policzenie jego wartości okazuje się łatwym zadaniem, co jest kolejnym argumentem przemawiającym na korzyść tego wielomianu.

Jeśli zaś chodzi o wielomiany interpolacyjne, ich zachowanie przez cały czas było dość podobne. Widać, że wartości błędów maleją z podobną prędkością wraz ze wzrostem wartości n , a jeśli chodzi o błędy to na wykresach widać, że są dość zbliżone i chociaż czasami (jak w przypadku wielomianów) wygląda na to, że wielomian I_n jest gorszy, to dla innych funkcji (innych ziaren w losowej generacji) można było

zaobserwować, że jest na odwrót. Podobnie z innymi wykresami. Należy więc przyjąć, że wielomiany te dają bardzo zbliżone wartości błędów. Na korzyść wielomianu J_n przemawia jednak jego prostota liczenia dzięki algorytmowi Clenshowa. We wzorze na wielomian I_n mamy sumę postaci

$$\sum_{k=1}^{n+1} f(t_{n+1,k})T_j(t_{n+1,k}),$$

którego nie można policzyć tym algorytmem, co oznacza, że liczenie wartości I_n jest znacznie trudniejsze. Dlatego, ponieważ zachowują się one tak podobnie, lepiej jest chyba używać wielomianu J_n jeżeli oczywiście nie chcemy używać wielomianu K_n .

Literatura

- [1] Na podstawie Stefan Paszkowski „Zastosowania numeryczne wielomianów i szeregów Czebyszewa” wyd. 1975 wstęp do rozdziału 6.
- [2] Stefan Paszkowski „Zastosowania numeryczne wielomianów i szeregów Czebyszewa” wyd. 1975 twierdzenie T7.8.
- [3] Stefan Paszkowski „Zastosowania numeryczne wielomianów i szeregów Czebyszewa” wyd. 1975 twierdzenie T6.3.
- [4] Twierdzenie i dowód Stefan Paszkowski „Zastosowania numeryczne wielomianów i szeregów Czebyszewa” wyd. 1975 T7.9.
- [5] Twierdzenie i dowód Stefan Paszkowski „Zastosowania numeryczne wielomianów i szeregów Czebyszewa” wyd. 1975 T7.11.
- [6] Twierdzenie i dowód Stefan Paszkowski „Zastosowania numeryczne wielomianów i szeregów Czebyszewa” wyd. 1975 T7.13.
- [7] Stefan Paszkowski „Zastosowania numeryczne wielomianów i szeregów Czebyszewa” wyd. 1975 algorytm A14.4, implementacja 19.7.